

ห้องสมุดงานวิจัย สำนักงานคณะกรรมการการอุดมศึกษา



249735



การสังเคราะห์และข้อมูลทางเคมีศาสตร์ของ nanostructures ของ ZnO

A NOVEL SYNTHESIS AND CHARACTERIZATION OF ZnO-BASED
NANOSTRUCTURES

นพดล ธรรมดิษฐ์

วิทยานิพนธ์ปริญญาโท สาขาวิชาเคมีและเทคโนโลยีชีวภาพ

มหาวิทยาลัยเทคโนโลยีราชมงคลรัตนโกสินทร์

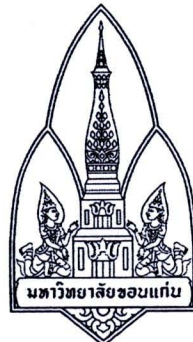
บ.ศ. 2554

b00254523

ห้องสมุดงานวิจัย สำนักงานคณะกรรมการการวิจัยแห่งชาติ



249735



การสังเคราะห์วีธีแบบใหม่และศึกษาลักษณะเฉพาะของโครงสร้างนาโนกลุ่ม ZnO

A NOVEL SYNTHESIS AND CHARACTERIZATION OF ZnO-BASED
NANOSTRUCTURES



นายศรรุต ลาบัวใหญ่

วิทยานิพนธ์ปริญญาวิทยาศาสตรมหาบัณฑิต

มหาวิทยาลัยขอนแก่น

พ.ศ. 2554

การสังเคราะห์วิธีแบบใหม่และศึกษาลักษณะเฉพาะของโครงสร้างนาโนกัม ZnO

นายศราวุฒ ลาบัวใหญ่

วิทยานิพนธ์นี้เป็นส่วนหนึ่งของการศึกษาตามหลักสูตรปริญญาวิทยาศาสตร์มหาบัณฑิต
สาขาวิชาวัสดุศาสตร์และนาโนเทคโนโลยี
บัณฑิตวิทยาลัย มหาวิทยาลัยขอนแก่น

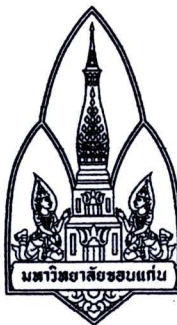
พ.ศ. 2554

**A NOVEL SYNTHESIS AND CHARACTERIZATION OF ZnO-BASED
NANOSTRUCTURES**

MR. SARAWUTH LABUAYAI

**A THESIS SUBMITTED IN PARTIAL FULFILLMENT OF THE
REQUIREMENTS
FOR THE DEGREE OF MASTER OF SCIENCE
IN MATERIALS SCIENCE AND NANOTECHNOLOGY
GRADUATE SCHOOL KHON KAEN UNIVERSITY**

2011



ในรับรองวิทยานิพนธ์
มหาวิทยาลัยขอนแก่น
หลักสูตร
วิทยาศาสตร์มหาบัณฑิต
สาขาวิชาวัสดุศาสตร์และนาโนเทคโนโลยี

ชื่อวิทยานิพนธ์: การสังเคราะห์วิธีแบบใหม่และศึกษาลักษณะเฉพาะของโครงสร้าง nano กลุ่ม ZnO

ชื่อผู้ทำวิทยานิพนธ์: นายศราวุฒ ลาบัวใหญ่

คณะกรรมการสอบวิทยานิพนธ์

รศ. ดร. สันติ แม้นศิริ

ประธานกรรมการ

ผศ. ดร. เอกพรรรณ สวัสดิ์ชิตติ

กรรมการ

ดร. สุปรีดี พินิจสุนทร

กรรมการ

ดร. นงลักษณ์ มีทอง

กรรมการ

อาจารย์ที่ปรึกษาวิทยานิพนธ์:

อาจารย์ที่ปรึกษา

(ผู้ช่วยศาสตราจารย์ ดร. เอกพรรรณ สวัสดิ์ชิตติ)

(รองศาสตราจารย์ ดร. สำปอง แม่นมาตย์) (ผู้ช่วยศาสตราจารย์ ดร. เกียรติ แสงอรุณ)

คณบดีบัณฑิตวิทยาลัย

คณบดีคณะวิทยาศาสตร์

ลิขสิทธิ์ของมหาวิทยาลัยขอนแก่น

ศราวุธ ลับว้าใหญ่. 2554. การสังเคราะห์วิธีแบบใหม่และศึกษาลักษณะเฉพาะของโครงสร้างนาโนกัม ZnO. วิทยานิพนธ์ปริญญาวิทยาศาสตร์มหาบัณฑิต สาขาวิชาวัสดุศาสตร์ และนาโนเทคโนโลยี บัณฑิตวิทยาลัย มหาวิทยาลัยขอนแก่น.

อาจารย์ที่ปรึกษาวิทยานิพนธ์: ผศ. ดร. เอกพรรณ สวัสดีชิตตัง

บทคัดย่อ

249735

ในรายงานการวิจัยนี้ได้ทำการเตรียมวัสดุนาโน ZnO และ $Zn_{1-x}A_xO$ เมื่อ A คือ Mg, Co และ Mn ด้วยการสังเคราะห์วิธีแบบใหม่ โดยแบ่งวิธีการสังเคราะห์วัสดุนาโน ZnO ออกเป็น 3 วิธีหลักๆ คือ 1) วิธีโซล-เจล โดยใช้สารละลาย 3 ชนิดได้แก่ ไข่ขาว, ว่านหางจฉเข้ และใบตะไคร้ 2) วิธีการทำปฏิกิริยาทางเคมีด้วยคลีนอัลตราโซนิก และ 3) วิธีการถ่ายตัวทางความร้อนโดยตรง การเตรียมวัสดุนาโน $Zn_{1-x}A_xO$ ได้เลือกใช้วิธีการถ่ายตัวทางความร้อนโดยตรง จากผลการศึกษาด้วยเทคนิค XRD พบว่าในทุกเงื่อนไขการสังเคราะห์วัสดุนาโน ZnO และ $Zn_{1-x}A_xO$ มีโครงสร้างผลึกเป็นเอกซ์โซนอลแบบเวิร์ตไซต์ อย่างไรก็ตาม วัสดุนาโน $Zn_{1-x}Mg_xO$ ในเงื่อนไข $x > 0.2$ พบรูปแบบใหม่เกิดขึ้นในโครงสร้าง จากการศึกษาด้วยเทคนิค SEM และ TEM พบว่าลักษณะทางสัมฐานวิทยาของวัสดุตัวอย่างมีความแตกต่างกัน ขึ้นอยู่กับเงื่อนไขการสังเคราะห์ของแต่ละวิธี ส่วนการศึกษาสมบัติทางแสงของวัสดุนาโน ZnO โดยเทคนิค UV-Vis และ PL พบว่าวัสดุตัวอย่างที่การสังเคราะห์ได้ในแต่ละวิธีส่วนใหญ่มีการดูดกลืนแสงได้ดีในย่านเหนือม่วง (Ultraviolet : UV) คือที่ความยาวคลื่นต่ำกว่า 400 nm (3.10 eV) และมียอดกราฟของการดูดกลืนสูงสุดที่ความยาวคลื่น ~288 nm (4.31 eV) โดยมีค่าช่องว่างแอบพลังงานอยู่ระหว่าง ~2.90-3.25 eV ในการศึกษาการคายพลังงานแสงพบว่าวัสดุตัวอย่างส่วนใหญ่มีการคายพลังงานแสงได้ดีในย่านเหนือม่วง โดยช่วงแอบพลังงานอ่อน (weak UV band), ช่วงแอบสีฟ้า-เขียว (blue-green band) และในช่วงแอบสีเขียว (green band) ผลที่วัดได้เหล่านี้ยืนยันการเกิดต้านภัยในโครงสร้างของวัสดุ ในการการศึกษาสมบัติทางแม่เหล็ก โดยเทคนิค VSM พบว่าวัสดุนาโน ZnO แสดงพฤติกรรมแม่เหล็กแบบไดอา ส่วนวัสดุนาโน $Zn_{1-x}Co_xO$ และ $Zn_{1-x}Mn_xO$ แสดงพฤติกรรมแม่เหล็กแบบเฟอร์โร เมื่อจากไอออนของ Co^{2+} และ Mn^{2+} เข้าไปแทนที่ Zn^{2+} ที่ตำแหน่งเตตระซีตrolloภัยในโครงสร้างของ ZnO อย่างสมบูรณ์ ส่งผลทำให้เกิดต้านภัยในโครงสร้าง และอันตรกิริยาที่มีผลทำให้เกิดพฤติกรรมแม่เหล็กแบบเฟอร์โร เช่น อันตรกิริยาแบบ double exchange และ อันตรกิริยาแบบ F-center exchange

Sarawuth Labuayai. 2011. *A Novel Synthesis and Characterization of ZnO-Based Nanostructure*. Master of Science Thesis Materials Science and Nanotechnology, Graduate School, Khon Kaen University.

Thesis Advisor: Asst. Prof. Dr. Ekaphan Swatsitang

ABSTRACT

249735

In this study, nanostructure of ZnO and $Zn_{1-x}A_xO$ ($A = Mg, Co$ and Mn) are prepared by a novel synthesis. The ZnO nanostructures are synthesised by include 1) sol-gel method using egg white (EW), aloe vera (AV) and lemon grass (LG) solution 2) chemical reaction with ultrasonic radiation and 3) direct thermal decomposition route. However the synthesis of $Zn_{1-x}A_xO$ ($A = Mg, Co$ and Mn) nanostructure is prepared by direct thermal decomposition route. The XRD results show that the obtained ZnO and $Zn_{1-x}A_xO$ ($A = Mg, Co$ and Mn) are single phase hexagonal wurtzite structure. However, the synthesis of $Zn_{1-x}Mg_xO$ ($x > 0.2$) nanostructure prepared by direct thermal decomposition route show that second phase of MgO. The morphology of the samples revealed by SEM and TEM are different depend on method of synthesis, causing the formations with different size and shape in the samples. The UV-Vis absorption of the ZnO samples exhibit a strong absorption (UV region) below 400 nm (3.10 eV) with a well defined absorption peak at around 288 nm (4.31 eV) and the band gap energy between ~2.90–3.25 eV. The PL spectra of the ZnO samples consist of four emission bands: a strong UV emission band, a weak blue band, a blue-green band, and a very weak green band. These results are caused by defects inside the ZnO nanostructure due to various method. Finally, the specific magnetization curves are obtained from the VSM measurements. The pure ZnO sample exhibits a diamagnetic behavior, whereas all the $Zn_{1-x}Co_xO$ and $Zn_{1-x}Mn_xO$ samples are ferromagnetic. This is possibly due to the presence of the double exchange and F-center exchange mechanical caused by the complete substitution of Co^{2+} and Mn^{2+} in the Zn^{2+} site.

ขอขอบส่วนดีในงานวิทยานิพนธ์นี้แด่

บิดา มารดา ครอบครัว และคณาจารย์

กิตติกรรมประกาศ

การทำวิจัยในครั้งนี้ผู้ทำวิจัยขอขอบพระคุณผู้ช่วยศาสตราจารย์ ดร.เอกพรรณ สวัสดีชีตัง อาจารย์ที่ปรึกษาวิทยานิพนธ์ และรองศาสตราจารย์ ดร. สันติ แม้นศิริ ที่ได้กรุณาให้คำปรึกษา คำแนะนำเกี่ยวกับการศึกษาวิจัย และอบรมสั่งสอนให้เป็นคนดี มีความเพียร ช่วยสร้างกำลังใจที่ส่งผลให้มีความมุ่นหมายในการทำงานวิจัยนี้จนสำเร็จ อีกทั้งยังเป็นแบบอย่างที่ดีในการเป็นนักวิจัย

ขอขอบพระคุณคณะกรรมการสอบ ดร. นงลักษณ์ มีทอง และดร. สุปรีดี พินิจสุนทร สำหรับคำแนะนำ และติชมที่ช่วยให้วิทยานิพนธ์นี้มีความสมบูรณ์มากขึ้น

ขอขอบพระคุณคณาจารย์ประจำภาควิชาสัตวศาสตร์ และนาโนเทคโนโลยี ภาควิชาพิสิกส์ คณะวิทยาศาสตร์ มหาวิทยาลัยขอนแก่น ทุกท่านที่กรุณาประสิทธิ์ประสานความรู้และประสบการณ์อันมีค่าอย่างแก่คิชช์

ขอขอบคุณภาควิชาพิสิกส์ คณะวิทยาศาสตร์ มหาวิทยาลัยขอนแก่น ที่เอื้อเฟื้อวัสดุ อุปกรณ์และเครื่องมือในการทำวิทยานิพนธ์

ขอขอบคุณภาควิชาชีววิทยา คณะวิทยาศาสตร์ มหาวิทยาลัยขอนแก่น ที่เอื้อเพื่อการใช้กล้องจุลทรรศน์อิเล็กตรอนแบบส่องกระดาด

ขอขอบคุณภาควิชาเคมี คณะวิทยาศาสตร์ มหาวิทยาลัยขอนแก่น ที่เอื้อเพื่อการใช้เครื่องมือวิเคราะห์ TG/DTA, FTIR, UV-Vis และVSM

ขอขอบคุณภาควิชาพิสิกส์ คณะวิทยาศาสตร์ มหาวิทยาลัยอุบลราชธานี ที่ให้ความอนุเคราะห์ในการใช้เครื่องมือวิเคราะห์ XRD และPL

ขอขอบคุณสถานบริการวิทยาศาสตร์และเทคโนโลยี คณะวิทยาศาสตร์ มหาวิทยาลัยเชียงใหม่ ที่เอื้อเพื่อการใช้กล้องจุลทรรศน์อิเล็กตรอนแบบส่องผ่าน

ขอขอบคุณนักศึกษาระดับบัณฑิตศึกษาประจำหลักสูตรวิชาสัตวศาสตร์ และนาโนเทคโนโลยี และภาควิชาพิสิกส์ คณะวิทยาศาสตร์ มหาวิทยาลัยขอนแก่น โดยเฉพาะสมาชิกในกลุ่มวิจัย Small & Strong Materials Group (SSMG) ที่ได้ให้กำลังใจ และช่วยเหลือเป็นอย่างดี เสนอมา

ท้ายที่สุด ขอกราบขอบพระคุณ คุณพ่อชัยยุทธ คุณแม่พิกุล ลับบ้าไหญ่ และทุกคนในครอบครัว ญาติพี่น้องทุกคน ที่เคยอบรมสั่งสอนให้เป็นคนดีและให้กำลังใจตลอดมา รวมทั้งนางสาวอินธิรา ดำรงกุล ที่เคยเป็นกำลังใจมาโดยตลอด

สารบัญ

	หน้า
บทคัดย่อภาษาไทย	ก
บทคัดย่อภาษาอังกฤษ	ข
คำอุทิศ	ค
กิตติกรรมประกาศ	ง
สารบัญตาราง	ช
สารบัญภาพ	ญ
บทที่ 1 บทนำ	1
1.1 ความเป็นมาและความสำคัญของปัญหา	1
1.2 วัตถุประสงค์ของการวิจัย	3
1.3 ขอบเขตและข้อจำกัดของงานวิจัย	3
1.4 สถานที่ทำการวิจัย	4
1.5 ประโยชน์ที่คาดว่าจะได้รับ	4
1.6 โครงสร้างของวิทยานิพนธ์	4
บทที่ 2 วรรณกรรมและงานวิจัยที่เกี่ยวข้อง	7
2.1 ความรู้ทั่วไปของคุณลักษณะ และโครงสร้าง ZnO	7
2.2 การสังเคราะห์และการศึกษาพฤติกรรมทางแสงของวัสดุนาโน ZnO	9
2.3 ผลของสมบัติทางแสงของการเจือธาตุโลหะ Mg ในโครงสร้าง ZnO	20
2.4 ความรู้ทั่วไปเกี่ยวกับสารประกอบออกไซด์เจือแม่เหล็ก	24
2.5 ผลของสมบัติทางแม่เหล็กของการเจือธาตุโลหะแทรนซิชันในโครงสร้าง ZnO	28
2.6 กลไกที่ใช้อธิบายความเป็นแม่เหล็กของสารประกอบออกไซด์เจือแม่เหล็ก	36
2.7 เทคนิคการเตรียมวัสดุนาโน	40
บทที่ 3 ทฤษฎีพื้นฐาน	45
3.1 สมบัติเชิงแสงของวัสดุ	45
3.2 สมบัติเชิงแม่เหล็กของวัสดุ	61

สารบัญ (ต่อ)

	หน้า
บทที่ 4 วิธีการวิจัย	73
4.1 สารเคมีที่ใช้	74
4.2 การสังเคราะห์อนุภาคนาโน ZnO วิธีโซล-เจล โดยใช้สารละลาย ไข่ขาวเป็นตัวทำละลาย	74
4.3 การสังเคราะห์อนุภาคนาโน ZnO วิธีโซล-เจล โดยใช้สารละลาย ว่านหางจะเข้าเป็นตัวทำละลาย	75
4.4 การสังเคราะห์อนุภาคนาโน ZnO วิธีโซล-เจล โดยใช้สารละลายใน ตะไคร้สกัด	75
4.5 การสังเคราะห์อนุภาคนาโน ZnO โดยวิธีการทำปฏิกิริยาทางเคมี ด้วยคลื่นอัลตราโซนิก	76
4.6 การสังเคราะห์อนุภาคนาโน ZnO ด้วยวิธีการสลายตัวทางความร้อน โดยตรง	76
4.7 การเผาแคลใจน์ (calcination)	83
4.8 เทคนิคและหลักการของเครื่องมือที่ใช้ในการศึกษาโครงสร้างและ ลักษณะทางกายภาพของ ZnO	84
บทที่ 5 ผลการวิจัยและการอภิปรายผล	99
5.1 การสังเคราะห์วัสดุนาโน ZnO โดยการเตรียมในวิธีต่างๆ	99
5.2 การเปรียบเทียบถึงข้อดี และข้อด้อยในแต่ละวิธี ของการเตรียม วัสดุนาโน ZnO	180
5.3 การสังเคราะห์วัสดุนาโน $Zn_{1-x}A_xO$ เมื่อ A คือ Mg, Co และ Mn ใช้วิธีการเตรียมด้วยการสลายตัวทางความร้อนโดยตรง	182
บทที่ 6 สรุปและข้อเสนอแนะ	221
6.1 การสังเคราะห์และศึกษาสมบัติพื้นฐานของวัสดุนาโน ZnO เมื่อใช้ สารละลายไข่ขาวเป็นตัวทำละลาย	221
6.2 การสังเคราะห์และศึกษาสมบัติพื้นฐานของวัสดุนาโน ZnO เมื่อใช้ สารละลายว่านหางจะเข้าเป็นตัวทำละลาย	222
6.3 การสังเคราะห์และศึกษาสมบัติพื้นฐานของวัสดุนาโน ZnO โดยใช้ สารละลายในตะไคร้สกัดเป็นตัวทำละลาย	222

สารบัญ (ต่อ)

	หน้า
6.4 การสังเคราะห์และศึกษาสมบัติพื้นฐานของวัสดุนาโน ZnO โดยวิธีการทำปฏิกิริยาทางเคมีด้วยคลื่นอัลตราโซนิก	223
6.5 การสังเคราะห์และศึกษาสมบัติพื้นฐานของวัสดุนาโน ZnO ด้วยวิธีการสลายตัวทางความร้อนโดยตรง	224
6.6 การสังเคราะห์และศึกษาสมบัติพื้นฐานของวัสดุนาโน $Zn_{1-x}Mg_xO$ ($x = 0.1, 0.2, 0.3$ และ 0.4) ด้วยวิธีการสลายตัวทางความร้อนโดยตรง	225
6.7 การสังเคราะห์และศึกษาสมบัติพื้นฐานของวัสดุนาโน $Zn_{1-x}Co_xO$ ($x = 0, 0.025, 0.05, 0.075$) ด้วยวิธีการสลายตัวทางความร้อนโดยตรง	225
6.8 การสังเคราะห์และศึกษาสมบัติพื้นฐานของวัสดุนาโน $Zn_{0.925}Mn_{0.075}O$ ด้วยวิธีการสลายตัวทางความร้อนโดยตรง	226
6.9 ข้อเสนอแนะและงานที่ทำในอนาคต	227
เอกสารอ้างอิง	229
ภาคผนวก	239
การเผยแพร่วิทยานิพนธ์	241
ประวัติผู้เขียน	243

สารบัญตาราง

	หน้า
ตารางที่ 2.1 คุณสมบัติพื้นฐานของวัสดุชิงค์ออกไซด์ (ZnO)	8
ตารางที่ 2.2 รัศมีไอออนของธาตุโลหะทรายชิชัน พร้อมระบุประจุไอออน และ รัศมีไอออนของ ธาตุบางชนิดที่ใช้เจือในสารประกอบออกไซด์	26
ตารางที่ 2.3 การจัดเรียงอิเล็กตรอนในชั้น $3d$ ของโลหะทรายชิชัน	27
ตารางที่ 3.1 แสดงการจำแนกพลังงานแม่เหล็กไฟฟ้าในย่านต่าง ๆ	47
ตารางที่ 3.2 ค่าดัชนีการหักเหของแสงของวัสดุป้องแสงบางชนิด	53
ตารางที่ 3.3 การแบ่งชนิดของสเปกโตรสโคปีตามระดับพลังงาน	61
ตารางที่ 3.4 การจัดเรียงอิเล็กตรอนในชั้น $3d$ -ออร์บิทัลของธาตุทรายชิชัน	69
ตารางที่ 3.5 การแบ่งชนิดของวัสดุตามสมบัติความเป็นแม่เหล็กของสาร	72
ตารางที่ 4.1 สารเคมีที่ใช้ในการสังเคราะห์วัสดุสาร ZnO และ $Zn_{1-x}A_xO$ เมื่อ A คือ Mg , Co และ Mn	74
ตารางที่ 5.1 ขนาดอนุภาค และค่าคงที่แลตทิชของวัสดุนาโน ZnO เมื่อ แคลเซน อุณหภูมิที่ 400 , 500 และ $600\text{ }^{\circ}\text{C}$ เป็นเวลา 2 ชั่วโมง ในอากาศ คำนวณโดยวิธี X-ray line broadening	103
ตารางที่ 5.2 แสดงข้อมูลอ้างอิงอิงตำแหน่งของเลขคู่ (wave number) ที่มีการ ถูกกลืนแสง อินฟราเรดของหมู่ฟังก์ชันต่าง ๆ จากกลุ่มวิจัยอื่น ๆ	109
ตารางที่ 5.3 กรดอะมิโนที่เป็นส่วนประกอบสำคัญของโปรตีนโอลัลบูมิน	112
ตารางที่ 5.4 ตารางสรุปสารประกอบในว่านหางจระเข้	119
ตารางที่ 5.5 ขนาดอนุภาค และค่าคงที่แลตทิชของวัสดุนาโน ZnO เมื่อ แคลเซน อุณหภูมิที่ 400 , 500 และ $600\text{ }^{\circ}\text{C}$ เป็นเวลา 2 ชั่วโมง ในอากาศ คำนวณโดยวิธี X-ray line broadening	121
ตารางที่ 5.6 ขนาดอนุภาค และค่าคงที่แลตทิชของวัสดุนาโน ZnO เมื่อ แคลเซน อุณหภูมิที่ 400 , 500 และ $600\text{ }^{\circ}\text{C}$ เป็นเวลา 2 ชั่วโมง ในอากาศ คำนวณโดยวิธี X-ray line broadening	133

สารบัญตาราง (ต่อ)

	หน้า
ตารางที่ 5.7 เงื่อนไขในการเตรียมวัสดุนาโน ZnO โดยวิธีการทำปฏิกิริยาทางเคมีด้วยคลื่นอัลตราโซนิก ที่ผ่านกระบวนการสั่นด้วยคลื่นอัลตราโซนิกเป็นเวลา 1 ชั่วโมง	143
ตารางที่ 5.8 ขนาดอนุภาค และค่าคงที่แลตทิชของวัสดุนาโน ZnO เมื่อใช้สารละลายเบสของ NaOH โดยที่ใช้สารตั้งต้นเกลือของชิงค์ต่างกัน คำนวณโดยวิธี X-ray line broadening	150
ตารางที่ 5.9 ขนาดอนุภาค และค่าคงที่แลตทิชของวัสดุนาโน ZnO เมื่อใช้สารละลายเบสของ KOH โดยใช้สารตั้งต้นของชิงค์ต่างกัน คำนวณโดยวิธี X-ray line	153
ตารางที่ 5.10 ขนาดอนุภาค และค่าคงที่แลตทิชของวัสดุนาโน ZnO เมื่อแคลไชน์อุณหภูมิที่ 400, 500, 600 และ 700 °C เป็นเวลา 2 ชั่วโมง ในอากาศ คำนวณโดยวิธี X-ray line broadening	169
ตารางที่ 5.11 สรุปการเปรียบเทียบถึงข้อดี และข้อด้อยแต่ละวิธีในการเตรียมวัสดุนาโน ZnO	181
ตารางที่ 5.11 ขนาดอนุภาค และค่าคงที่แลตทิชของวัสดุนาโน $Zn_{1-x}Mg_xO$ ($x = 0, 0.1, 0.2, 0.3$ และ 0.4) คำนวณโดยวิธี X-ray line broadening	185
ตารางที่ 5.12 ขนาดอนุภาค และค่าคงที่แลตทิชของวัสดุนาโน $Zn_{1-x}Co_xO$ ($x = 0.025, 0.05$ และ 0.075) คำนวณโดยวิธี X-ray line broadening	196

สารบัญภาพ

	หน้า
ภาพที่ 2.1 โครงสร้างแบบ hexagonal wurtzite ของ ZnO	8
ภาพถ่าย SEM ของอนุภาคนาโน ZnO เงื่อนไขไฟฟ้ากระแสตรงที่ 5 แอมป์	9
ภาพที่ 2.3 (ก) แสดงค่าແຄบช่องว่างพลังงานจากกราฟความสัมพันธ์ระหว่าง $(\alpha h\nu)^2$ และ E_g (ข) สเปกตรัมจากเทคนิค Photoluminescence ของอนุภาคนาโน ZnO เงื่อนไขไฟฟ้ากระแสตรงที่ 5 แอมป์	10
ภาพที่ 2.4 แผนภาพแสดงการสังเคราะห์วัสดุนาโน ZnO โดยวิธี chemical vapor deposition (CVD)	11
ภาพที่ 2.5 สเปกตรัมจากเทคนิค Photoluminescence ของวัสดุนาโน ZnO ที่มีลักษณะเป็น อนุภาคนาโน, แผ่นนาโน และเส้นใยนาโน	11
ภาพที่ 2.6 (ก) ภาพถ่าย SEM (ข) ภาพถ่าย TEM ของวัสดุนาโน ZnO โดยวิธีซีล-เจล	13
ภาพที่ 2.7 สเปกตรัมการดูดกลืนแสง โดยเทคนิค UV-vis ของวัสดุนาโน ZnO (ภาพแทรกแสดงค่าແຄบช่องว่างพลังงานจากกราฟ ความสัมพันธ์ระหว่าง $(\alpha h\nu)^2$ และ E_g)	13
ภาพที่ 2.8 แผนภาพแสดงกระบวนการเตรียมวัสดุนาโน ZnO โดยวิธี ตกตะกอน	14
ภาพที่ 2.9 ภาพถ่าย SEM ของวัสดุนาโน ZnO ที่มีรูปทรงเหมือนถ้วย (cup-like) (ก) ภาพถ่ายกำลังขยายต่ำ (ข) ภาพถ่ายกำลังขยายสูง	15
ภาพที่ 2.10 สเปกตรัมจากเทคนิค Photoluminescence วัสดุนาโน ZnO ที่มีรูปทรงเหมือนถ้วย	15
ภาพแสดงกระบวนการการเกิดชิงค์ออกไซต์ (ก) ระบบที่ไม่ CTAB (ข) ระบบที่มี CTAB	16

สารบัญภาพ (ต่อ)

	หน้า	
ภาพที่ 2.12	ภาพแสดงไอออนบวกจาก CTA^+ เข้าทำปฏิกิริยากับ Zn(OH)_4^{2-}	17
ภาพที่ 2.13	ภาพถ่าย SEM ของวัสดุนาโน ZnO ที่มีรูปทรงเป็นทรงกลม (spheres) (ก) ภาพถ่ายกำลังขยายต่ำ (ข) ภาพถ่ายกำลังขยายสูง	18
ภาพที่ 2.14	สเปกตรัมจากเทคนิค Photoluminescence วัสดุนาโน ZnO ที่มีรูปทรงเป็นทรงกลม	19
ภาพที่ 2.15	แสดงค่าແຄบช่องว่างพลังงานจากการฟคุณสมบัติระหว่าง $(\alpha h\nu)^2$ และ E_g ของ วัสดุ $\text{Mg}_x\text{Zn}_{1-x}\text{O}$ ($x = 0, 0.05, 0.1$, และ 0.15) (ก) สเปกตรัมการดูดกลืนแสง โดยเทคนิค UV-vis ของวัสดุ นาโน $\text{Zn}_{1-x}\text{Mg}_x\text{O}$ (ข) แสดงค่าແຄบช่องว่างพลังงาน ของวัสดุ นาโน $\text{Zn}_{1-x}\text{Mg}_x\text{O}$	20
ภาพที่ 2.16	(ก) รูปแบบการเลี้ยวเบนรังสีเอกซ์ของวัสดุ $\text{Zn}_{1-x}\text{Mg}_x\text{O}$ (ปริมาณ Mg คือ 2-30 %)	21
ภาพที่ 2.18	แสดงค่าแลตทิชพารามิเตอร์ a และ c ของวัสดุ $\text{Zn}_{1-x}\text{Mg}_x\text{O}$ (ปริมาณ Mg คือ 2-30 %)	22
ภาพที่ 2.19	แสดงค่าແຄบช่องว่างพลังงาน ของวัสดุ $\text{Mg}_x\text{Zn}_{1-x}\text{O}$ ($x = 0, 0.5, 1.0, 1.5, 2.5, 3.0$ และ 5.0)	23
ภาพที่ 2.20	(ก) ภาพถ่าย TEM ของวัสดุ $\text{Mg}_{0.23}\text{Zn}_{0.77}\text{O}$ (ข) สเปกตรัมจาก เทคนิค Photoluminescence วัสดุนาโน ZnO และ $\text{Mg}_{0.23}\text{Zn}_{0.77}\text{O}$	24
ภาพที่ 2.21	โครงสร้างของการประกอบออกไซด์หัวไผ่	25
ภาพที่ 2.22	โมเมนต์แม่เหล็กของฟิล์มบาง ZnO ที่เจือด้วย 5 at% ของ โลหะ ทรานซิชัน	28
ภาพที่ 2.23	การเปลี่ยนแปลงกับสนามแม่เหล็กของค่าแมgnีไฟเซนท์ที่ อุณหภูมิห้องของวัสดุ $\text{Zn}_{1-x}\text{Co}_x\text{O}$ ($x = 0.029$ และ 0.056) ใช้ วิธีไฮโดรเทอร์mol	29

สารบัญภาพ (ต่อ)

		หน้า
ภาพที่ 2.24	การเปลี่ยนแปลงกับสนามแม่เหล็กของค่าแมgnีติเซชันที่อุณหภูมิห้องของวัสดุ $Zn_{1-x}Mn_xO$ ($x = 0.03, 0.05$ และ 0.07) วิธี theological	30
ภาพที่ 2.25	โนเมนต์แม่เหล็กที่อุณหภูมิห้องของ 0.2 at% Mn เจือใน ZnO และ 3.5 at% Co เจือใน ZnO (ก) และ (ข) คือฟิล์มบางของ 0.2 at% Mn เจือใน ZnO ที่เจือร่วม และไม่เจือร่วมด้วยในไตรเจนตามลำดับ (ค) และ (ง) คือฟิล์มบางของ 3.5 at% Co เจือใน ZnO ที่เจือร่วมและไม่เจือร่วมด้วยในไตรเจน	31
ภาพที่ 2.26	การเปลี่ยนแปลงกับสนามแม่เหล็กของค่าแมgnีติเซชันที่อุณหภูมิห้องของวัสดุ $Zn_{0.9}Co_{0.1}O$ โดยวิธีโซล-เจล ทำการเผาแคลไซน์ที่อุณหภูมิ $873-1073$ K	32
ภาพที่ 2.27	การเปลี่ยนแปลงกับสนามแม่เหล็กของค่าแมgnีติเซชันที่อุณหภูมิห้องของ ฟิล์มบาง $Zn_{1-x}Co_xO$ ($x = 0.15$ และ 0.20) โดยใช้วิธี sol-gel coating route	33
ภาพที่ 2.28	(ก) ภาพถ่าย Field-emission SEM (ข) ภาพถ่าย TEM และ (ค) รูปแบบการ เลี้ยวเบนของอิเล็กตรอนของฟิล์มบางของฟิล์มบาง $Zn_{1-x}Co_xO$ ($x = 0.15$)	34
ภาพที่ 2.29	การเปลี่ยนแปลงกับสนามแม่เหล็กของค่าแมgnีติเซชันที่อุณหภูมิห้องของฟิล์มบาง $Zn_{0.96}Er_{0.04}O$ ที่มีการให้ก๊าซออกซิเจนที่ 20 และ 30 sccm	35
ภาพที่ 2.30	สเปกตรัมจากเทคนิค Raman ของฟิล์มบาง $Zn_{1-x}Er_xO$ ($x = 0, 0.04, 0.05$ และ 0.17) โดยใช้วิธี rf magnetron sputtering	35
ภาพที่ 2.31	กลไกการเกิดอันตรกิริยาต่างๆ ของสารประกอบออกไซด์ (ก) กลไกการเกิด superexchange (ข) กลไกการเกิด double exchange	37
ภาพที่ 2.32	แผนภาพการเกิดอันตรกิริยาแบบ F-center	38

สารบัญภาพ (ต่อ)

	หน้า
ภาพที่ 2.33 การเกิดอันตรกิริยาแบบ Bound Magnetic Polaron (BMP) โดย ↑ แทนสปินของโลหะทรานซิชัน, ○ แทนตำแหน่งของโลหะทรานซิชัน และ □ แทนช่องว่างของออกซิเจน	39
ภาพที่ 2.34 แสดงขั้นตอนของกระบวนการการเตรียมวัสดุสารด้วยเทคนิค โซล-เจล	41
ภาพที่ 2.35 การแตกตัวของฟองอากาศในของเหลว	43
ภาพที่ 2.36 แสดงระบบในการทดลองการทำปฏิกิริยาทางเคมีด้วยคลื่น อัลตราโซนิก	43
ภาพที่ 2.37 แสดงขั้นตอนการเตรียมวัสดุสาร ZnO ด้วยวิธีการสลายตัวทาง ความร้อนโดยตรง	44
ภาพที่ 3.1 คลื่นแม่เหล็กไฟฟ้าที่แสดงองค์ประกอบของ สนามไฟฟ้า (Electric field) สนามแม่เหล็ก (Magnetic field) และทิศ ทางการเคลื่อนที่	46
ภาพที่ 3.2 แสดงสเปกตรัมของเทบพลังงาน	46
ภาพแสดงลักษณะที่เกิดขึ้นเมื่อแสงเดินทางผ่านตัวกลาง	48
ภาพถ่ายแสดงการส่องผ่านแสงในชั้นงาน อะลูมีนา 3 ชั้น โดย ชั้นงานทางช้ายเป็นผลึกเตี้ยๆ (แซฟไฟร์) ซึ่งโปรด়ร่างใส ชั้นกลาง แบบหอยผลึกและไม่มีรูพรุนซึ่ง โปรด়ร่างแสง และชั้นขวามีแบบ หอยผลึกที่มีความพรุนประมาณ 15% มีความทึบแสง	49
ภาพแสดงการดูดซับโฟตอนโดยการกระตุ้นอิเล็กตรอนจาก ระดับชั้น พลังงานหนึ่งไป ยังอีกระดับชั้นพลังงานหนึ่งในอะตอม เดียวพลังงานของ โฟตอน $h\nu_{42}$ ต้องเท่ากับความแตกต่างของ พลังงาน 2 ระดับชั้น ($E_4 - E_2$)	50
(ก) ภาพแสดงกลไกการดูดซับโฟตอนของวัสดุโลหะ (ช) การ ปล่อยโฟตอนของแสง โดยการเลื่อนชั้นของอิเล็กตรอนจากชั้น พลังงานที่สูงมายังชั้นพลังงานที่ต่ำกว่า	51
(ก) ภาพแสดงกลไกการดูดซับโฟตอนของวัสดุโลหะ (ช) การ คายพลังงานในรูป ของแสงโดยอิเล็กตรอนเลื่อนระดับพลังงาน ขั้นแรกต้องห้าม	55

สารบัญภาพ (ต่อ)

	หน้า	
ภาพที่ 3.8	(ก) แสดงการดูดซับไฟต่อนโดยอิเล็กตรอนที่ถูกกระตุ้นจากเดบ วาเลนซ์ไปยังแบบการนำ สำหรับวัสดุที่มีระดับชั้นพลังงานของ สารเจือปน (ข) แสดงการเกิดไฟต่อน 2 ตัวสำหรับวัสดุที่มี ระดับชั้นพลังงานของสารเจือปน	57
ภาพที่ 3.9	ภาพแสดงการส่องผ่านของแสงในตัวกล่างที่ไปรงใส่เกิดการ สะท้อนและดูดซับภายในตัวกล่าง	58
ภาพที่ 3.10	แผนภาพพลังงานของスペกโโทรสโคปแบบดูดกลืนและแบบ เปล่งออก	59
ภาพที่ 3.11	โนเมนต์แม่เหล็กซึ่งเกิดจาก (ก) การโคจร (Orbiting) และ (ข) การสปินรอบตัวเองของอิเล็กตรอน	62
ภาพที่ 3.12	แสดงสนามแม่เหล็กรอบ ๆ กระแสไฟฟ้าที่ในลวนเป็นวงก้นแห่ง แม่เหล็ก	64
ภาพที่ 3.13	ความสัมพันธ์ระหว่างพลังงานแลกเปลี่ยนกับค่าอัตราส่วนระหว่าง ระยะห่างของอะตอมและเส้นผ่านศูนย์กลางของ 3d-ออร์บิทัล (a/d) ของธาตุทรายชิชันบางชนิด	70
ภาพที่ 4.1	แผนภาพแสดงขั้นตอนการสังเคราะห์วัสดุสาร ZnO โดยใช้ สารละลายไข่ขาว	78
ภาพที่ 4.2	แผนภาพแสดงขั้นตอนการสังเคราะห์วัสดุสาร ZnO โดยใช้ สารละลายว่านหางจะระเข้	79
ภาพที่ 4.3	แผนภาพแสดงขั้นตอนการสังเคราะห์วัสดุสาร ZnO โดยใช้ สารละลายใบตะไคร้สกัด	80
ภาพที่ 4.4	แผนภาพแสดงขั้นตอนการสังเคราะห์วัสดุสาร ZnO โดยวิธีการทำ ปฏิกิริยาทางเคมีด้วยคลื่นอัลตราโซนิก	81
ภาพที่ 4.5	แผนภาพขั้นตอนการสังเคราะห์วัสดุสาร ZnO โดยวิธีการสลายตัวทาง ความร้อนโดยตรง	82
ภาพที่ 4.6	แผนภาพแสดงขั้นตอนการสังเคราะห์วัสดุสาร $Zn_{1-x}Mg_xO$ โดย วิธีการสลายตัวทาง ความร้อนโดยตรง	82

สารบัญภาพ (ต่อ)

	หน้า
ภาพที่ 4.7 แผนภาพแสดงขั้นตอนการสังเคราะห์วัสดุสาร $Zn_{1-x}Co_xO$ และ $Zn_{1-x}Mn_xO$ วิธีการสลายตัวทางความร้อนโดยตรง	83
ภาพที่ 4.8 อัตราการเพิ่มขึ้นและลดลงของอุณหภูมิแคลไชน์	83
ภาพที่ 4.9 ส่วนประกอบของเครื่อง TG-DTA	85
ภาพที่ 4.10 การเลี้ยวเบนรังสีเอกซ์จากความสัมพันธ์ตามกฎหมายของแบรก์	86
ภาพที่ 4.11 แผนภาพแสดงการตรวจสอบสารตัวอย่างโดยเทคนิค XRD	87
ภาพที่ 4.12 แผนภาพการแสดงระดับพลังงานของกระบวนการเกิด Raman scattering	90
ภาพที่ 4.13 แผนภาพแสดงระดับพลังงานของการเกิด PL	92
ภาพที่ 4.14 แสดงส่วนประกอบของเครื่อง PL	92
ภาพที่ 4.15 แผนภาพโครงสร้างของ SEM	94
ภาพที่ 4.16 แผนภาพโครงสร้างของ TEM	96
ภาพที่ 4.17 แผนภาพโครงสร้างหลักของ VSM	97
ภาพที่ 5.1 (ก) แสดงโครงสร้างของกรดอะมิโน (ข) แสดงการต่อกันของกรดอะมิโนด้วย พันธะเปปไทด์เป็นสายโซ่ยิ่ง (polypeptide) โครงสร้างกรดอะมิโนประเภทต่าง ๆ	100
ภาพที่ 5.2 รูปแบบการเลี้ยวเบนรังสีเอกซ์ของวัสดุนาโน ZnO โดยเทคนิค XRD แคลไชน์ที่ อุณหภูมิ 400, 500 และ 600 °C เป็นเวลา 2 ชั่วโมง	101
ภาพที่ 5.3 ความสัมพันธ์ระหว่างขนาดอนุภาคกับอุณหภูมิแคลไชน์ของวัสดุนาโน ZnO ที่ อุณหภูมิ 400, 500 และ 600 °C เป็นเวลา 2 ชั่วโมง	103
ภาพที่ 5.4 ความสัมพันธ์ระหว่างค่าคงที่แลตทิชกับอุณหภูมิแคลไชน์ของวัสดุนาโน ZnO ที่ อุณหภูมิ 400, 500 และ 600 °C เป็นเวลา 2 ชั่วโมง	104
ภาพที่ 5.5 ความสัมพันธ์ระหว่างค่าคงที่แลตทิชกับอุณหภูมิแคลไชน์ของวัสดุนาโน ZnO ที่ อุณหภูมิ 400, 500 และ 600 °C เป็นเวลา 2 ชั่วโมง	104
ภาพที่ 5.6 สเปกตรัมจากเทคนิค Raman ของวัสดุนาโน ZnO แคลไชน์ที่ อุณหภูมิ 400, 500 และ 600 °C เป็นเวลา 2 ชั่วโมง	106
ภาพที่ 5.7 สเปกตรัม FT-IR ของวัสดุนาโน ZnO แคลไชน์ที่ อุณหภูมิ 400, 500 และ 600 °C เป็นเวลา 2 ชั่วโมง	108

สารบัญภาพ (ต่อ)

	หน้า
ภาพที่ 5.8 ภาพถ่าย SEM ของวัสดุนาโน ZnO แคลไซน์ที่อุณหภูมิ (ก) 400, (ข) 500 และ (ค) 600 °C เป็นเวลา 2 ชั่วโมง	111
ภาพที่ 5.9 สมบัติการดูดกลืนแสงจากเทคนิค UV-vis ของวัสดุนาโน ZnO (ก) สเปกตรัมการดูดกลืนแสง (ข) ช่องว่างแบบพลังงาน	115
ภาพที่ 5.10 แสดงค่าแบบพลังงานของวัสดุ ZnO ที่แสดงระดับพลังงานของชั้น โอดิเนอร์ (donor level) เมื่อมีตำแหน่งในโครงสร้าง	116
ภาพที่ 5.11 สเปกตรัมจากเทคนิค Photoluminescence ของวัสดุนาโน ZnO แคลไซน์ที่ อุณหภูมิ 400, 500 และ 600 °C เป็น เวลา 2 ชั่วโมง	117
ภาพที่ 5.12 รูปแบบการเลี้ยวเบนรังสีเอกซ์ จากเทคนิค XRD ของวัสดุนาโน ZnO แคลไซน์ที่อุณหภูมิ 400, 500 และ 600 °C เป็นเวลา 2 ชั่วโมง	121
ภาพที่ 5.13 ความสัมพันธ์ระหว่างขนาดอนุภาคกับอุณหภูมิแคลไซน์ของวัสดุนาโน ZnO ที่อุณหภูมิ 400, 500 และ 600 °C เป็นเวลา 2 ชั่วโมง	122
ภาพที่ 5.14 ความสัมพันธ์ระหว่างค่าคงที่แลตทิชกับอุณหภูมิแคลไซน์ของวัสดุนาโน ZnO ที่อุณหภูมิ 400, 500 และ 600 °C เป็นเวลา 2 ชั่วโมง	122
ภาพที่ 5.15 สเปกตรัมจากเทคนิค Raman ของวัสดุนาโน ZnO แคลไซน์ที่ อุณหภูมิ 400, 500 และ 600 °C เป็นเวลา 2 ชั่วโมง	124
ภาพที่ 5.16 ภาพถ่าย TEM ของวัสดุนาโน ZnO แคลไซน์ที่อุณหภูมิ (ก) 400, (ข) 500 และ (ค) 600 °C เป็นเวลา 2 ชั่วโมง	126
ภาพที่ 5.17 สมบัติการดูดกลืนแสงจากเทคนิค UV-vis ของวัสดุนาโน ZnO (ก) สเปกตรัมการดูดกลืนแสง (ข) ช่องว่างแบบพลังงาน	128
ภาพที่ 5.18 สเปกตรัมจากเทคนิค Photoluminescence ของวัสดุนาโน ZnO แคลไซน์ที่ อุณหภูมิ 400, 500 และ 600 °C เป็น เวลา 2 ชั่วโมง	130

สารบัญภาพ (ต่อ)

	หน้า
ภาพที่ 5.19 รูปแบบการเลี้ยวเบนรังสีเอกซ์ จากเทคนิค XRD ของวัสดุนาโน ZnO แคลไซน์ที่อุณหภูมิ 400, 500 และ 600 °C เป็นเวลา 2 ชั่วโมง	133
ภาพที่ 5.20 ความสัมพันธ์ระหว่างขนาดอนุภาคกับอุณหภูมิแคลไซน์ของวัสดุนาโน ZnO ที่อุณหภูมิ 400, 500 และ 600 °C เป็นเวลา 2 ชั่วโมง	134
ภาพที่ 5.21 ความสัมพันธ์ระหว่างค่าคงที่แลตทิชกับอุณหภูมิแคลไซน์ของวัสดุนาโน ZnO แคลไซน์ที่อุณหภูมิ 400, 500 และ 600 °C เป็นเวลา 2 ชั่วโมง	134
ภาพที่ 5.22 สเปกตรัมจากเทคนิค Raman ของวัสดุนาโน ZnO แคลไซน์ อุณหภูมิ 400, 500 และ 600 °C เป็นเวลา 2 ชั่วโมง	136
ภาพที่ 5.23 ภาพถ่าย TEM ของวัสดุนาโน ZnO แคลไซน์ที่อุณหภูมิ (ก) 400, (ข) 500 และ (ค) 600 °C เป็นเวลา 2 ชั่วโมง	138
ภาพที่ 5.24 สมบัติการดูดกลืนแสงจากเทคนิค UV-vis ของวัสดุนาโน ZnO (ก) สเปกตรัมการดูดกลืนแสง (ข) ช่องว่างandan พลังงาน	140
ภาพที่ 5.25 สเปกตรัมจากเทคนิค Photoluminescence ของวัสดุนาโน ZnO แคลไซน์ที่อุณหภูมิ 400, 500 และ 600 °C เป็นเวลา 2 ชั่วโมง	142
ภาพที่ 5.26 รูปแบบการเลี้ยวเบนรังสีเอกซ์ จากเทคนิค XRD ของวัสดุนาโน ZnO เมื่อใช้สารละลายเบสของ NaOH โดยที่ใช้สารตั้งต้นของชิงค์ต่างกัน	149
ภาพที่ 5.27 ความสัมพันธ์ระหว่างขนาดอนุภาคกับอุณหภูมิแคลไซน์ของวัสดุนาโน ZnO เมื่อใช้สารละลายเบสของ NaOH โดยที่ใช้สารตั้งต้นของชิงค์ต่างกัน	150
ภาพที่ 5.28 ความสัมพันธ์ระหว่างค่าคงที่แลตทิชกับอุณหภูมิแคลไซน์ของวัสดุนาโน ZnO เมื่อใช้สารละลายเบสของ NaOH โดยที่ใช้สารตั้งต้นของชิงค์ต่างกัน	151
ภาพที่ 5.29 รูปแบบการเลี้ยวเบนรังสีเอกซ์ จากเทคนิค XRD ของวัสดุนาโน ZnO เมื่อใช้สารละลายเบสของ KOH โดยใช้สารตั้งต้นของชิงค์ต่างกัน	152

สารบัญภาพ (ต่อ)

	หน้า
ภาพที่ 5.30 ความสัมพันธ์ระหว่างขนาดอนุภาคกับอุณหภูมิแคลไชน์ของวัสดุนาโน ZnO เมื่อใช้สารละลายนีโบิกาโน KOH โดยใช้สารตั้งต้นของชิงค์ต่างกัน	153
ภาพที่ 5.31 ความสัมพันธ์ระหว่างค่าคงที่แลตทิชกับสารตั้งต้นของชิงค์ต่างกันของวัสดุนาโน ZnO เมื่อใช้สารละลายนีโบิกาโน KOH โดยใช้สารตั้งต้นของชิงค์ต่างกัน	154
ภาพที่ 5.32 ภาพถ่าย SEM ของวัสดุนาโน ZnO เมื่อใช้สารละลายนีโบิกาโน NaOH โดยใช้สารตั้งต้นของชิงค์ต่างกัน (ก) ZnO_NT_KOH (ข) ZnO_AT_KOH (ค) ZnO_CR_KOH (ง) ZnO_SF_KOH	155
ภาพที่ 5.33 ภาพถ่าย SEM ของวัสดุนาโน ZnO เมื่อใช้สารละลายนีโบิกาโน KOH โดยใช้สารตั้งต้นของชิงค์ต่างกัน (ก) ZnO_NT_KOH (ข) ZnO_AT_KOH (ค) ZnO_CR_KOH (ง) ZnO_SF_KOH	157
ภาพที่ 5.34 สมบัติการดูดกลืนแสงจากเทคนิค UV-vis ของวัสดุนาโน ZnO_NaOH (ก) สเปกตรัมการดูดกลืนแสง (ข) ช่องว่างแบบพลังงาน	159
ภาพที่ 5.35 สมบัติการดูดกลืนแสงจากเทคนิค UV-vis ของวัสดุนาโน ZnO_KOH (ก) สเปกตรัมการดูดกลืนแสง (ข) ช่องว่างแบบพลังงาน	161
ภาพที่ 5.36 สเปกตรัมจากเทคนิค Photoluminescence ของวัสดุนาโน ZnO กรณีใช้สารละลายนีโบิกาโน NaOH เมื่อใช้สารตั้งต้นของชิงค์ต่างกัน	163
ภาพที่ 5.37 สเปกตรัมจากเทคนิค Photoluminescence ของวัสดุนาโน ZnO กรณีใช้สารละลายนีโบิกาโน KOH เมื่อใช้สารตั้งต้นของชิงค์ต่างกัน	165
ภาพที่ 5.38 การสลายตัวทางความร้อนของสารตั้งต้นชิงค์อะซิเทրโดยเทคนิค TG/DTA	167
ภาพที่ 5.39 รูปแบบการเลี้ยวเบนรังสีเอกซ์ จากเทคนิค XRD ของวัสดุนาโน ZnO แคลไชน์ที่อุณหภูมิ 400, 500, 600 และ 700 °C เป็นเวลา 4 ชั่วโมง	169

สารบัญภาพ (ต่อ)

	หน้า
ภาพที่ 5.40 ความสัมพันธ์ระหว่างขนาดอนุภาคกับอุณหภูมิแคลไชน์ของวัสดุ nano ZnO ที่อุณหภูมิ 400, 500, 600 และ 700 °C เป็นเวลา 4 ชั่วโมง	170
ภาพที่ 5.41 ความสัมพันธ์ระหว่างค่าคงที่แลตทิชกับอุณหภูมิแคลไชน์ของวัสดุ nano ZnO ที่อุณหภูมิ 400, 500, 600 และ 700 °C เป็นเวลา 4 ชั่วโมง	170
ภาพที่ 5.42 สเปกตรัม FT-IR ของวัสดุ nano ZnO แคลไชน์ที่อุณหภูมิ 400, 500, 600 และ 700 °C เป็นเวลา 4 ชั่วโมง	172
ภาพถ่าย SEM ของวัสดุ nano ZnO แคลไชน์ที่อุณหภูมิ (ก) 400, (ข) 500 (ค) 600 และ (ง) 700 °C เป็นเวลา 4 ชั่วโมง	173
ภาพถ่าย TEM ของวัสดุ nano ZnO แคลไชน์ที่อุณหภูมิ (ก) 400, (ข) 500, (ค) 600 และ (ง) 700 °C เป็นเวลา 4 ชั่วโมง	175
ภาพถ่าย TEM ของวัสดุ nano ZnO แคลไชน์ที่อุณหภูมิ (ก) 400, (ข) 500, (ค) 600 และ (ง) 700 °C เป็นเวลา 4 ชั่วโมง (ต่อ)	176
สเปกตรัมการดูดกลืนแสง และช่องว่างแบบพลังงาน (ภาพแทรก) จากเทคนิค UV-vis ของวัสดุ nano ZnO แคลไชน์ที่ อุณหภูมิ (ก) 400, (ข) 500, (ค) 600 และ (ง) 700 °C เป็นเวลา 4 ชั่วโมง	178
สเปกตรัมจากเทคนิค Photoluminescence ของวัสดุ nano ZnO แคลไชน์ที่ อุณหภูมิ 400, 500, 600 และ 700 °C เป็นเวลา 4 ชั่วโมง	180
รูปแบบการเลี้ยวเบนรังสีเอกซ์ จากเทคนิค XRD ของวัสดุ nano $Zn_{1-x}Mg_xO$ ($x = 0, 0.1, 0.2, 0.3$ และ 0.4) แคลไชน์ที่ อุณหภูมิ 500 °C เป็นเวลา 4 ชั่วโมง	184
ความสัมพันธ์ระหว่างขนาดอนุภาคกับปริมาณการเจือ Mg ของวัสดุ nano $Zn_{1-x}Mg_xO$ ($x = 0, 0.1, 0.2, 0.3$ และ 0.4)	185

สารบัญภาพ (ต่อ)

	หน้า
ภาพที่ 5.49 ความสัมพันธ์ระหว่างค่าคงที่แลตทิชกับกับปริมาณการเจือ Mg ของวัสดุนาโน $Zn_{1-x}Mg_xO$ ($x = 0, 0.1, 0.2, 0.3$ และ 0.4)	186
ภาพถ่าย SEM ของวัสดุนาโน $Zn_{1-x}Mg_xO$ เมื่อ (ก) $x = 0$, (ข) $x = 0.1$, (ค) $x = 0.2$, (ง) $x = 0.3$ และ (จ) $x = 0.4$ (ต่อ)	187
ภาพที่ 5.51 สมบัติการดูดกลืนแสงจากเทคนิค UV-vis ของวัสดุนาโน ZnO (ก) สเปกตรัมการดูดกลืนแสง (ข) ความสัมพันธ์ระหว่างช่องว่างแอบพลังงานกับปริมาณการเจือ Mg	190
ภาพที่ 5.52 สเปกตรัมจากเทคนิค Photoluminescence ของวัสดุนาโน $Zn_{1-x}Mg_xO$ ($x = 0, 0.1, 0.2, 0.3$ และ 0.4)	192
ภาพที่ 5.53 รูปแบบการเลี้ยวเบนรังสีเอกซ์ (XRD) ด้วยวิธีการสลายตัวทางความร้อนโดยตรง (ก) $Zn_{1-x}Co_xO$ ($x = 0, 0.025, 0.05, 0.075$) แคลไชน์ที่ $300^{\circ}C$ เวลา 6 ชั่วโมง (ข) ZnO แคลไชน์ที่ 300 และ $400^{\circ}C$ เวลา 6 ชั่วโมง	195
ภาพที่ 5.54 ความสัมพันธ์ระหว่างขนาดอนุภาคกับปริมาณการเจือ Co ของวัสดุนาโน $Zn_{1-x}Co_xO$ ($x = 0.025, 0.05$ และ 0.075)	196
ภาพที่ 5.55 ความสัมพันธ์ระหว่างค่าคงที่แลตทิชกับปริมาณการเจือ Co ของวัสดุนาโน $Zn_{1-x}Co_xO$ ($x = 0.025, 0.05$ และ 0.075)	197
ภาพที่ 5.56 ภาพถ่าย SEM ของวัสดุนาโน $Zn_{1-x}Co_xO$ เมื่อ (ก) $x = 0$ ($400^{\circ}C$), (ข) $x = 0.025$, (ค) $x = 0.05$ และ (ง) $x = 0.075$ แคลไชน์ที่ $300^{\circ}C$ เป็นเวลา 6 ชั่วโมง	198
ภาพที่ 5.57 ภาพถ่าย TEM ของวัสดุนาโน $Zn_{1-x}Co_xO$ เมื่อ (ก) $x = 0$ ($400^{\circ}C$), (ข) $x = 0.025$, (ค) $x = 0.05$ และ (ง) $x = 0.075$ แคลไชน์ที่ $300^{\circ}C$ เป็นเวลา 6 ชั่วโมง	200
ภาพที่ 5.57 ภาพถ่าย TEM ของวัสดุนาโน $Zn_{1-x}Co_xO$ เมื่อ (ก) $x = 0$ ($400^{\circ}C$), (ข) $x = 0.025$, (ค) $x = 0.05$ และ (ง) $x = 0.075$ แคลไชน์ที่ $300^{\circ}C$ เป็นเวลา 6 ชั่วโมง (ต่อ)	201
ภาพถ่าย HRTEM ของวัสดุนาโน $Zn_{0.925}Co_{0.075}O$ แคลไชน์ที่ $300^{\circ}C$ เป็นเวลา 6 ชั่วโมง	202

สารบัญภาพ (ต่อ)

	หน้า
ภาพที่ 5.59 สเปกตรัมการดูดกลืนแสง จากเทคนิค UV-vis ของวัสดุนาโน $Zn_{1-x}Co_xO$	203
ภาพที่ 5.60 ความเป็นแม่เหล็กที่อุณหภูมิห้อง ที่ได้จากการวัดโดยเทคนิค VSM (ก) วัสดุนาโน ZnO แคลไซน์ที่ 300 และ 400 °C เป็นเวลา 6 ชั่วโมง (ข) วัสดุนาโน $Zn_{1-x}Co_xO$ ($x = 0.025, 0.05, 0.075$) แคลไซน์ที่ 300 °C เป็นเวลา 6 ชั่วโมง	206
ภาพที่ 5.61 แบบจำลองการเกิดอันตรกิริยาแบบต่างๆ เมื่อมีการเจือ Co ในโครงสร้างของ ZnO	207
ภาพที่ 5.62 รูปแบบการเลี้ยวเบนรังสีเอกซ์ (XRD) ด้วยวิธีการสลายตัวทางความร้อนโดยตรง (ก) $Zn_{0.925}Mn_{0.075}O$ แคลไซน์ที่ 300 °C เวลา 6 ชั่วโมง (ข) ZnO แคลไซน์ที่ 400 °C เวลา 6 ชั่วโมง (ค) ZnO แคลไซน์ที่ 300 °C เวลา 6 ชั่วโมง	210
ภาพที่ 5.63 ภาพถ่าย SEM ของวัสดุนาโน $Zn_{0.925}Mn_{0.075}O$ แคลไซน์ที่ 300 °C เป็นเวลา 6 ชั่วโมง	211
ภาพที่ 5.64 ภาพถ่าย TEM ของวัสดุนาโน $Zn_{0.925}Mn_{0.075}O$ แคลไซน์ที่ 300 °C เป็นเวลา 6 ชั่วโมง	212
ภาพที่ 5.65 ภาพถ่าย HRTEM ของวัสดุนาโน $Zn_{0.925}Mn_{0.075}O$ แคลไซน์ที่ 300 °C เป็นเวลา 6 ชั่วโมง	213
ภาพที่ 5.66 สเปกตรัมจากเทคนิค Photoluminescence ของวัสดุนาโน $Zn_{0.925}Mn_{0.075}O$	215
ภาพที่ 5.67 ความเป็นแม่เหล็กที่อุณหภูมิห้อง ที่ได้จากการวัดโดยเทคนิค VSM ของวัสดุนาโน $Zn_{0.925}Mn_{0.075}O$ ใช้อุณหภูมิแคลไซน์ที่ 300 °C เป็นเวลา 6 ชั่วโมง	218
ภาพที่ 5.67 แบบจำลองการเกิดอันตรกิริยาแบบต่างๆ เมื่อมีการเจือ Mn ในโครงสร้างของ ZnO	219